

LB. 1207. Detalle de pi-
zarras negras ampeliti-
cas (Sp₁₋₂^{A-B}).





L.B. 1208. Vista parcial de alternancia de pizarras y areniscas con intercalaciones de cuarcitas (S^{A-B}).
1-2



M.T. 5601. Panorámica de las Facies Buntsandstein (A) en contacto discordante sobre las Arcillas y brechas (P_{12}) (B). Barranco de la Hoz.



M.T. 5602. Detalle de las Arcillas y brechas (P₁₂)
Barranco de la Hoz.



M.T. 5603. Detalle de la brecha Pérmica (P₁₂). -
Barranco de la Hoz.



M.T. 5604. Vista parcial
de las Brechas Pérmicas
(P₁₂). Barranco de la -
Hoz.



M.T. 5605. Panorámica de las Facies Buntsands - tein (Conglomerados y arcillas, T_{G1} ; Areniscas, arcillas rojas y conglomerados, $T_{G1}s$; Arcillas vinosas y areniscas, $T_{G1}a$) en el Barranco de la Hoz.



M.T. 5606. Conjunto de conglomerados y arcillas - rojas (T_{G1}), A en discordancia sobre los depósitos de Arcillas y Brechas (P_{12}), B.



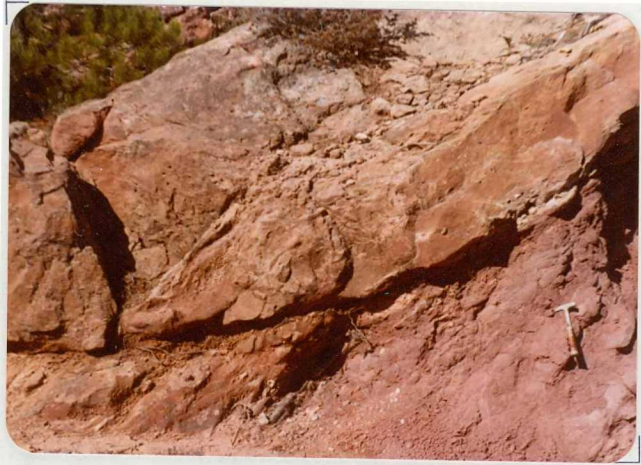
M.T. 5607. Conjunto de Areniscas, arcillas rojas y conglomerados (T_{G1} s) en el Barranco de la Hoz.



M.T. 5608. Detalle de la foto anterior. Se observan estratificación cruzadas.

M.T. 5609. Panorámica -
de las Arcillas vino -
sas y areniscas (T_{G1}^a)
verticalizadas Carrete -
ra de Molina de Aragón
a Taravilla, en las -
proximidades de Tierzo.





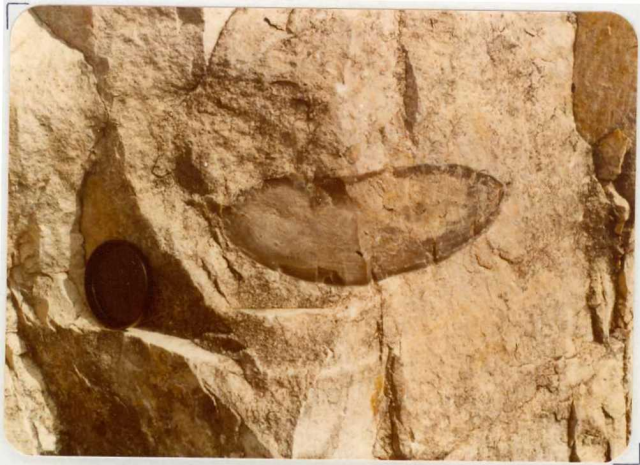
M.T. 5610. Detalle de las Arcillas vinosas y arenicas (T_{G1} a). Barranco de la Hoz.



M.T. 5611. Dolomías en Facies Muschelkalk (T_{G2d}).
Carretera de Molina de Aragón a Castillnuevo, -
Cerro de los Molinos.

M.T. 5612. Dolomías en
Facies Muschelkalk -
que incluyen cantes -
de silex. Cerro de -
los Molinos, carretera
de Molina de Ara -
gón a Castillnuevo.





M.T. 5613. Detalle de los cantes de silex inclui
dos en las dolomías en Facies Muschelkalk (T_{G2}^d).
Carretera de Molina de Aragón a Castillnuevo.



M.T. 5614. Conjunto de Dolomías, margas y calizas dolomíticas (T_{G2}^m) en la Carretera de Molina de Aragón a Castillnuevo.



M.T. 5615. Panorámica de las Facies Keuper (T_{G3}). Proximidades de Valsalobre.

M.T. 5616. Carniolas,
en su tramo brechoide,
dentro del tramo dife
renciado cartografica
mente como Carniolas.
Dolomías tableadas a
la base ($T_{G3}-J_1$). Pro
ximas a la localidad
de Arias.





M.T. 5617. Panorámica donde se aprecian las facies Keuper T_{G3} (A) y las Carniolas con las dolomías - tableadas a la base ($T_{G3}-J_1$).



M.T. 5618. Panorámica del Jurásico, en primer término. En segundo término depósitos Cretácicos. Pista del Puente de San Pedro a Villar de Cobeta.



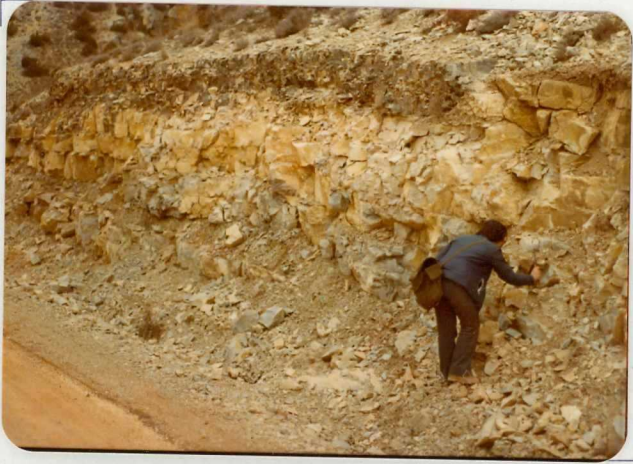
M.T. 5619. Panorámica de las calizas y dolomías -
tableadas (J_{1-13}^{0-2}) plegadas y puestas al descu -
bierto por la erosión del Río Tajo. Pista del -
Puente de San Pedro a Villar de Cobeta.



M.T. 5620 . Anticlinal y sinclinal de las calizas y dolomías tableadas (J_{1-13}^{0-2}). Cuevas Labradas.



M.T. 5621. Tableado de las calizas y dolomías tableadas (J_{1-13}^{0-2}). Pini-lla de Molina.



M.T. 5622. Detalle de las Calizas y dolomías tabladadas (J_{1-13}^{0-2}). Cuevas Labradas.



M.T. 5623. Contacto de las margas de la base de la unidad J_{13}^{2-3} (A) en contacto con las calizas - y dolomías tableadas, J_{1-13}^{0-2} (B) Pista de Tierzo a Fuembellida.



M.T. 5624. Calizas bioclasticas Pliesbachienses
en la pista de Tierzo a Fuembellida.



M.T. 5625. Pliegue anticlinal en las calizas bioclasticas y margas grises a la base (J_{13}^{2-3}) Pista de Tierzo a Fuembellida.



M.T. 5626. Detalle de la foto anterior.



M.T. 5627. Alternancia de calizas y margas --
(J³⁻³₁₃₋₁₄) en las proximidades de las Carquimas.



M.T. 5628. Pliegue anticlinal en las calizas del Dogger J₁₄₋₂₂. Pista de Taravilla a Baños de Ta-jo.



M.T. 5629. Explotación de Arenas en Facies Utrillas (C_{16-21}^{0-1}). Proxima a la localidad de Peñalen. Hoja de Peralejos de las Truchas (24-21).



M.T. 5630. Explotación de Facies Utrillas en el -
borde meridional de la Hoja. Al Sur de Taravilla.



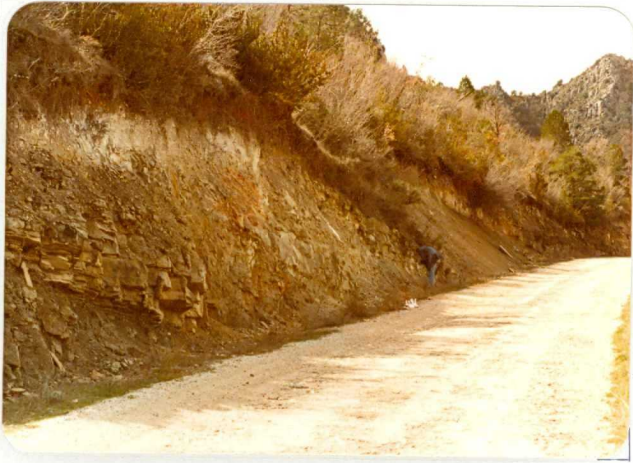
M.T. 5631. Detalle de la foto anterior.



M.T. 5632. Alteración de las arenas en facies -
Utrillas. (C_{16-21}^{0-1}). Proxima a la localidad de Ta
ravilla.



M.T. 5633. Contacto de las Margas y calizas con
fauna (C_{21}^{2-3}) dispuestos sobre las Arenas en fa-
cies Utrillas (C_{16-21}^{0-1}) Carretera a Fuembellida.



M.T. 5634. Vista parcial del tramo de margas y calizas con fauna (C_{21}^{2-3}) en la carretera del Puente de San Pedro a Zaorejas.



M.T. 5635. Detalle de la fotografía anterior.



M.T. 5636. Detalle de la fotografía MT 5634.



M.T. 5637. Vista parcial del tramo de dolomías, dolomías margosas y calizas. Conjunto tableado (C_{21-22}^{3-2}). Carretera del Puente de San Pedro a Zaorejas.



M.T. 5638. Tramo de las Calizas nodulosas con -
fauna. Margas a techo (C_{22}^{2-3}). Carretera del -
Puente de San Pedro a Zaorejas.



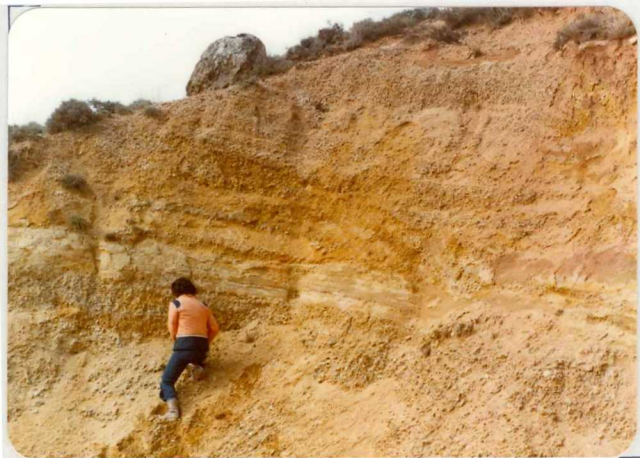
M.T. 5639. Conjunto de dolomías y calizas dolomíticas en capas gruesas. (C_{23-26}). Carretera del -- Puente de San Pedro a Zaorejas.



M.T. 5640. Farallones Cretácicos descarnados por el río Tajo. Puente de San Pedro.



M.T. 5641. Vista panorámica del Cretácico en Fuembellida.



M.T. 5642. Arenas con cantos (T_2^B) del Plioceno - basal. Alto de la Pedriza.



M.T. 5643. Detalle de la fotografía anterior. Se observan los cantos de cuarcita subangulosos.



M.T. 5644. Canal arenoso dentro del tramo de Arenas con cantos (T_2^B) del Plioceno Basal. En el Alto de la Pedriza.



M.T. 5645. Arcillas con cantos cuarcíticos corres-
pondientes al afloramiento al Sur de Castillnuevo
(T₂^B).



M.T. 5646. Calizas (T_2^B c) Pliocenos proximos a -
Vallhermoso.



M.T. 5647. Vista parcial del glacis proximo a
Tierzo.



M.T. 5648. Panorámica del glacis Q₁G al Sur de Tierzo.



M.T. 5649. Vista panorámica de las Terrazas traventínicas QT proximas al puente de San Pedro.



M.T. 5650. Travertinos de la Venta del Chato.
Borde meridional de la Hoja. Q₁₋₂ Tr.



M.T. 5651. Detalle de la fotografía anterior.



M.T. 5652. Travertino en las proximidades de Castillnuevo. Q₁₋₂ Tr.